

1 FRB only

1. 认为精细结构常数随时间演化，若采取runaway dilaton模型：

$$\frac{\Delta\alpha}{\alpha}(z) = -\gamma \ln(1+z) \quad (1)$$

2. FRB河外色散量的理论值：

$$DM_{ext}^{th}(z) \equiv DM_{host}(z) + DM_{IGM}(z) \quad (2)$$

- 宿主星系：

$$DM_{host}(z) = \frac{DM_{host,0}}{(1+z)} f(\alpha, z)$$

若不考虑精细结构常数， $f(\alpha, z) = 1$ (host 1)；考虑精细结构常数时， $f(\alpha, z) = -\gamma(1+z) + 1$, (host 2)

- 星系间介质：

$$DM(z) = \int_0^z \frac{dz'}{H(z')} \frac{cn_e(z')}{(1+z')^2} \left(\frac{\Delta\alpha(z')}{\alpha_0} + 1 \right)$$

这是考虑了精细结构常数，对这一部分的色散量的贡献是 $\frac{\Delta\alpha(z')}{\alpha_0} + 1$ 。经过推导，这一部分也可以写作 $1 - \gamma \ln(1+z)$

3. FRB的色散量自关联功率谱：

$$\begin{aligned} C_\ell^{IGM,IGM} &= \int dz W_{DM,IGM}^2(z) \frac{H(z)}{\chi^2(z)} b_b^2 P_m \left(\frac{\ell+1/2}{\chi(z)}, z \right), \\ C_\ell^{IGM,host} &= 2 \int dz W_{DM,IGM}(z) W_{DM,host}(z) \frac{H(z)}{\chi^2(z)} \times b_{FRB} b_b P_m \left(\frac{\ell+1/2}{\chi(z)}, z \right), \\ C_\ell^{host,host} &= \int dz W_{DM,host}^2(z) \frac{H(z)}{\chi^2(z)} b_{FRB}^2 P_m \left(\frac{\ell+1/2}{\chi(z)}, z \right) \end{aligned} \quad (3)$$

$$\begin{aligned} W_{DM,IGM}(z) &= \left(1 - \frac{1}{2} Y \right) f_{IGM}(z) \frac{\bar{\rho}_{b,0}}{m_p} \frac{(1+z)}{H(z)} \int_z^\infty n(z) dz \times (1 - \gamma \ln(1+z)) \\ W_{DM,host}(z) &= \frac{DM_{host}(z)}{(1+z)} n(z) f(\alpha, z), \end{aligned} \quad (4)$$

4. FRB的色散量noise功率谱：

$$N_\ell^{DM} = \sqrt{\frac{1}{(2\ell+1)f_{sky}}} [C_\ell^{DM} + N_\ell^{host}] \quad (5)$$

与FRB的个数有关，假设FRB个数范围 $100-10^6$ ， $f_{sky}=0.8$ ，宿主星系色散量弥散 $\sigma_{host,0} = 30 \text{ pc}/\text{cm}^3$ ：

$$\begin{aligned} N_\ell^{host} &= 4\pi f_{sky} \sigma_{host}^2 / N \\ \sigma_{host} &= \sigma_{host,0} \int_0^z 1 - \gamma \ln(1+z) dz \end{aligned}$$

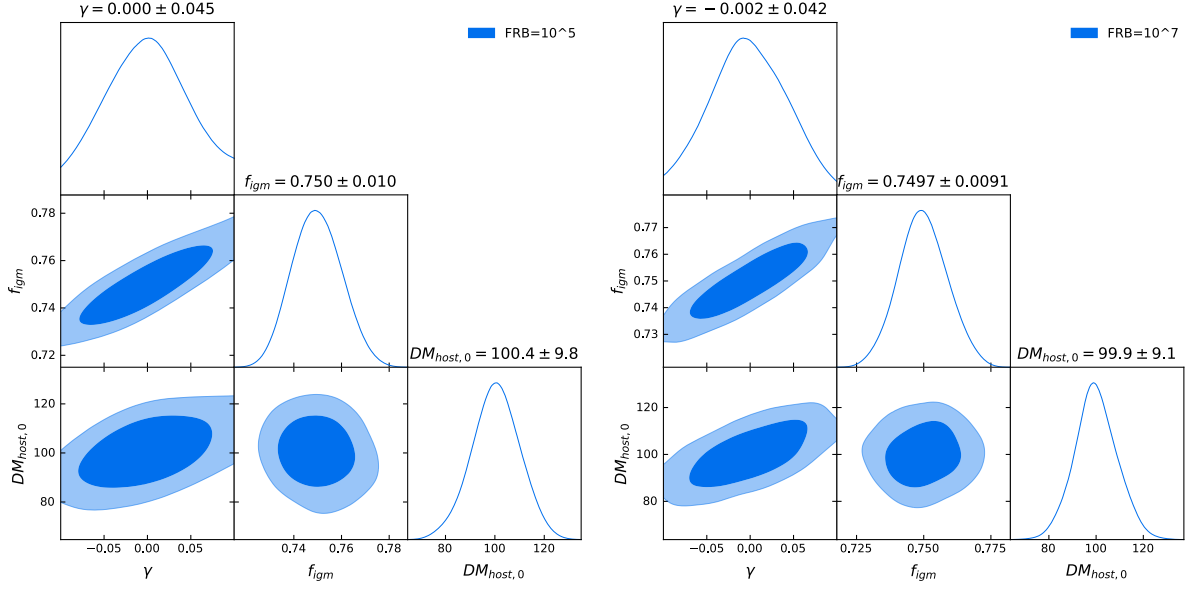
5. 信噪比

$$S/N \equiv \sum_{\ell=2}^{\ell_{max}} C_\ell^{DM} / N_\ell^{DM}$$

Likelihood:

$$\chi^2 = \left(\hat{C}_\ell^{\text{DM,obs}} - C_\ell^{\text{DM,th}} \right) \delta_{\ell,\ell'} \left(N_\ell^{\text{DM}} \right)^2 \left(\hat{C}_{\ell'}^{\text{DM,obs}} - C_{\ell'}^{\text{DM,th}} \right)^T \quad (6)$$

参数: $\gamma, f_{\text{IGM}}, DM_{\text{host},0}$



2 Galaxy and FRB

假设星系在很窄范围内的红移bin内，将DM与星系场做互关联，可以得到特定红移处的 $\Delta\alpha/\alpha$ 的值。同上，考虑精细结构常数的变化后，近在DM中添加一项 $(1 + \frac{\Delta\alpha}{\alpha}(z))$ 。星系的有效红移：0.15，0.45，0.75。

$$C_\ell^{gg} = \frac{1}{\Delta\chi_g \chi_g^2} P_{gg}(k, z_g)_{k=\ell/\chi_g} \quad (7)$$

$$C_\ell^{DD} = n_{e0}^2 \int_0^{z_f} dz \frac{(1+z)^2}{\chi^2(z)} \frac{c}{H(z)} P_{ee}(k, z)_{k=\ell/\chi} \left(1 + \frac{\Delta\alpha}{\alpha}(z)\right)^2 \quad (8)$$

$$C_\ell^{Dg} = n_{e0} \frac{(1+z)}{\chi_g^2} P_{ge}(k, z_g)_{k=\ell/\chi_g} \left(1 + \frac{\Delta\alpha}{\alpha}(z)\right) \quad (9)$$

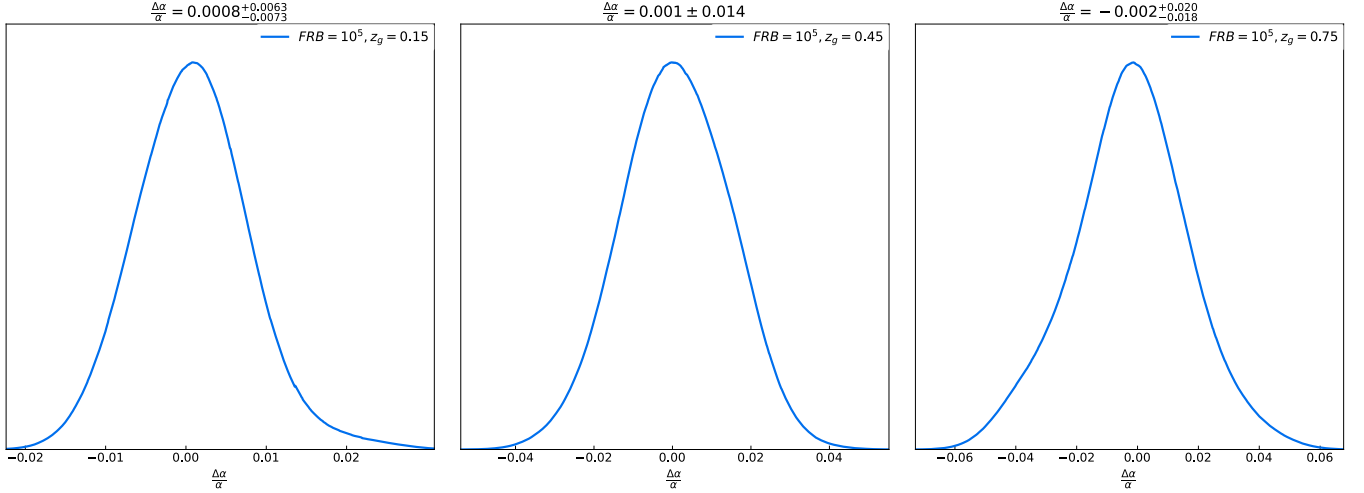
Noise:

$$(N_\ell^{Dg})^2 = (C_\ell^{gg} + N_{gg})(C_\ell^{DD} + N_{DD}) \quad (10)$$

$$N_{DD} = \sigma_{DM}^2 / n_f^{2d} \quad (11)$$

Likelihood:

$$\chi^2 = \left(\hat{C}_\ell^{\text{Dg,obs}} - C_\ell^{\text{Dg,th}} \right) \delta_{\ell,\ell'} \left(N_\ell^{\text{Dg}} \right)^2 \left(\hat{C}_{\ell'}^{\text{Dg,obs}} - C_{\ell'}^{\text{Dg,th}} \right)^T \quad (12)$$



3 About DM

1. 论文中常见的DM的表达形式，将三部分分开，并且一般只用IGM，host部分计算功率谱

$$\begin{aligned}
 DM_{total} &= DM_{MW} + DM_{IGM} + DM_{host} \\
 DM_{IGM}(z) &= \int_0^z \frac{\rho_{b,0}}{m_p} (1 - \frac{1}{2}Y_{He}) f_{igm}(1+z) \frac{c}{H(z)} dz \\
 DM_{host}(z) &= \frac{DM_{host,0}}{1+z} \sqrt{\frac{SFR(z)}{SFR(0)}}
 \end{aligned} \tag{13}$$

- $(1 - \frac{1}{2}Y_{He}) = 0.88, f_{igm}^{fid} = 0.75$

2. 更general的形式，引入 n_{e0} ,代表MW, IGM, host三部分的总贡献

$$\begin{aligned}
 DM_{total} &= \int_0^z \frac{n_e(z)}{(1+z)} \frac{c}{H(z)} dz \\
 &= \int_0^z n_{e0}(1+z) \frac{c}{H(z)} dz
 \end{aligned} \tag{14}$$

其中 n_{e0} 可以这么计算，参考 [arxiv:1109.0553](https://arxiv.org/abs/1109.0553)（这篇文章基于kSZ效应的，但我觉得这里对电子数密度的定义是广义的，因为是从最底层的电离过程出发的）：

$$n_{e0} = \frac{\chi \rho_{g,0}}{\mu_e m_p} \tag{15}$$

- $\chi = 0.86$: fraction of the total number of electrons that are ionized，与氦的丰度和电离状态有关，计算时 $N_{He} = 0$ （完全电离）， $Y_p = 0.24$

$$\chi = \frac{1 - Y_p(1 - N_{He}/4)}{1 - Y_p/2} \tag{16}$$

- $\rho_{g,0} \sim \rho_{b,0}$: mean gas density of the Universe
- $\mu_e m_p$: mean mass per electron, 每个电子对应的总质量。文献给出 $\mu_e = 1.14$ 与氢和氦的丰度有关（如果按75%氢，25%氦， $4m_H = m_{He} = 4m_p$ ，氢电离产生1个电子，氦产生2个，这样算出来 $\mu_e = 1.25$ ，可能1.14时是取的其他丰度结果？），

3. 这样算出来的，在红移0处，DM积分号内的值分别是,相差了0.006:

$$\frac{\rho_{b,0}}{m_p} (1 - \frac{1}{2}Y_{He}) f_{igm} = 0.1657 \quad n_{e0} = \frac{\chi \rho_{g,0}}{\mu_e m_p} = 0.1717 \tag{17}$$

4. 综上，1和2方法是等价的， f_{igm} 和 Y_{He} 的信息分别体现在 χ 和 μ_e 中； $DM_{host,0}$ 和银河系的贡献在计算积分时就包含进去了。

4 拓展

1. 爱因斯坦等效原理 (Einstein Equivalence Principle–EEP) 认为, 存在一个时空度规, 与物质场的耦合最小, 即最小耦合量:

$$S_{\text{mat}} = \int d^4x \sqrt{-g} \mathcal{L}_{\text{mat}}(g_{\mu\nu}, \Psi) \quad (18)$$

2. 需要修正: 满足太阳系内的检验, 与宇宙学的观测事实。研究其他内容, 比如暗物质暗能量 (宇宙加速膨胀), 检验局域不变性 (Local Position Invariance), 需要打破EEP, 引入标量场 ϕ 与物质场的非最小耦合。主要的变化是 $h_i(\phi)$, 代表标量场 ϕ 与不同物质场的耦合:

$$S_{\text{mat}} = \int d^4x \sqrt{-g} h_i(\phi) \mathcal{L}_i(g_{\mu\nu}, \Psi) \quad (19)$$

3. 这样一个耦合 $h(\phi)$, 是随着时间演化的, 会导致 (可能) 四个影响:

- 精细结构常数的时间演化 (temporal variation of the fine structure constant)
- CDDR (violation of the distance-duality relation) : 计算光度距离时有修正 η
- CMB温度演化的修正 (modification of the evolution of the CMB temperature) β
- CMB谱畸变 (spectral distortions) : 使CMB辐射不服从绝热条件, 存在化学势 μ

其中后面三个属于一类: 由“耦合导致着沿测地线的光子数不守恒”引起

4. 由于引入了标量场 ϕ 于其他物质场的耦合, 即 $h(\phi)$, 首先会导致精细结构常数随时间变化:

$$\frac{\Delta\alpha}{\alpha}(z) \equiv \frac{\alpha(z) - \alpha_0}{\alpha_0} = \frac{h(\phi_0)}{h(\phi)} - 1 \quad (20)$$

4.1 CDDR

基于scalar-tensor theories ([arxiv:1404.4266—Eq.\(56\)](#)), 在晚期宇宙计算光度距离关系 D_L 。首先, 引入 电磁势4矢量 (4-potential) A^μ , 电磁场张量 $F^{\mu\nu} = \partial^\mu A^\nu - \partial^\nu A^\mu$, 代表 $h(\phi)$ 与电磁场的耦合, 会改变光子在时空传播的特性:

$$\nabla_\nu (h(\phi) F^{\mu\nu}) = 0 \quad (21)$$

通过以上这个修正的麦克斯韦方程组, 可知光子数不守恒。有两个偏振方向: 沿视线方向 (径向), 垂直于视线方向。

$$\frac{d \ln b}{d\lambda} + \frac{1}{2} \frac{d \ln r^2 a^2(t)}{d\lambda} + \frac{1}{2} \frac{d \ln h(\phi)}{d\lambda} = 0 \quad (22)$$

λ 是仿射参数, 描述光子沿着测地线的运动。在FLRW时空 (flat或者curved都可) 中对它积分, 得到光度距离 (描述从天体发出的光在经过宇宙膨胀后到达观测者的亮度变化, 所以它会受影响):

$$D_L(z) = c(1+z) \sqrt{\frac{h(\phi_0)}{h(\phi(z))}} \int_0^z \frac{dz'}{H(z')} \quad (23)$$

描述CDDR:

$$\frac{D_L(z)}{D_A(z)(1+z)^2} \equiv \eta(z) = \sqrt{\frac{h(\phi_0)}{h(\phi(z))}} \quad (24)$$

与精细结构常数的关系:

$$\frac{\Delta\alpha}{\alpha}(z) = \eta(z)^2 - 1 \quad (25)$$

4.2 CMB温度演化的修正和谱畸变

1.加入了耦合 $h(\phi)$ ，玻尔兹曼方程表示光子数密度的时间演化，右边的碰撞项 $C[f]$ 可以写成耦合 $h(\phi)$ 的形式:

$$\begin{aligned} \dot{n} + 3Hn &= -n\partial_t \ln h(\phi) \\ \dot{\rho} + 4H\rho &= -\rho\partial_t \ln h(\phi) \end{aligned} \quad (26)$$

光子的数密度 n 和平均能量 ρ 都是关于碰撞项 $[f]$ 的积分。计算数密度和平均能量，表明：加入耦合后，CMB传到观测者时，不满足绝热黑体辐射（刚CMB刚发出来时是满足的），因此需要在光子的玻色爱因斯坦分布中加入化学势 μ ，来描述这种偏离绝热黑体谱的畸变（黑体辐射 $\mu = 0$ ）。

2.结合化学势，求解以上两个公式，可以得到光子个数 $n(T, \mu)$ 和能量密度 $\rho(T, \mu)$ ， T, μ 分别是CMB温度和化学势。

如果将 T, ρ, n 展开到一阶： $x = x_0 + \delta x(x : T, \rho, n)$ 。零阶代表标准的GR，并且在 z_{CMB} 时只有零阶。可以将温度和化学势写成关于 n, ρ 的形式。

温度:

$$\begin{aligned} T_{(0)} &= \left(\frac{15\rho_{(0)}}{\pi^2} \right)^{1/4} = \left(\frac{\pi^2 n_{(0)}}{2\zeta(3)} \right)^{1/3} \\ \frac{\delta T}{T_{(0)}} &= \frac{\frac{\delta\rho}{\rho_{(0)}} - \frac{540\zeta(3)^2}{\pi^6} \frac{\delta n}{n_{(0)}}}{4 \left(1 - \frac{405\zeta(3)^2}{\pi^6} \right)} \end{aligned} \quad (27)$$

化学势:

$$\mu = \frac{3\zeta(3)}{2\pi^2} \frac{3\frac{\delta\rho}{\rho_{(0)}} - 4\frac{\delta n}{n_{(0)}}}{1 - \frac{405\zeta(3)^2}{\pi^6}} \quad (28)$$

其中与 n, ρ 有关的部分都可以写成 $h(\phi)$ 的函数。

3.另一方面，某个红移处，光子的个数和能量密度满足， $i = \text{CMB}$ 为初始条件:

$$na^3 h(\phi) = n_i a_i^3 h(\phi_i), \quad \rho a^4 h(\phi) = \rho_i a_i^4 h(\phi_i) \quad (29)$$

• 在红移为 z_{CMB} 时， n 只有零阶，而且之后任意时刻的 n 与 z_{CMB} 满足:

$$\begin{aligned} n_0/n_{0,\text{CMB}} &= a^{-3}/a_{0,\text{CMB}}^{-3} \\ (n_0 + \delta n)a^3 h(\phi) &= n_{0,\text{CMB}} a_{\text{CMB}}^3 h(\phi_{\text{CMB}}) \end{aligned} \quad (30)$$

发现 $\frac{\delta n}{n_0} = \frac{h(\phi_{\text{CMB}})}{h(\phi)} - 1$ ，能量密度 $\frac{\delta\rho}{\rho_0}$ 也遵循这样的关系。将此关系定义为:

$$\frac{\delta n}{n_0} = \frac{\delta\rho}{\rho_0} = \delta h(\phi) \equiv \frac{h(\phi_{\text{CMB}})}{h(\phi)} - 1 = \frac{\eta^2(z)}{\eta^2(z_{\text{CMB}})} - 1 \quad (31)$$

• 这样就可以将 $\Delta\alpha$ 与 $\delta h(\phi)$ 联系起来。最后一步推导认为分母等于1（ $\frac{\Delta\alpha}{\alpha}(z_{\text{CMB}})$ 和1比起来很小）:

$$\delta h(\phi) = \frac{\eta^2(z)}{\eta^2(z_{\text{CMB}})} - 1 = \frac{\eta^2(z) - \eta^2(z_{\text{CMB}})}{\eta^2(z_{\text{CMB}})} = \frac{\frac{\Delta\alpha}{\alpha}(z) + 1 - \frac{\Delta\alpha}{\alpha}(z_{\text{CMB}}) - 1}{\frac{\Delta\alpha}{\alpha}(z_{\text{CMB}}) + 1} \simeq \frac{\Delta\alpha}{\alpha}(z) - \frac{\Delta\alpha}{\alpha}(z_{\text{CMB}}) \quad (32)$$

4.2.1 对CMB温度演化的影响

i 代表CMB处的红移或者此时的CMB温度。结合公式27, 31和32, 零阶温度 $T_{(0)} \sim a^{-1} = 1 + z$

$$\begin{aligned} T_{(0)} &= \frac{T_i a_i}{a} = T_i \frac{1+z}{1+z_i} \\ \frac{\delta T}{T_{(0)}} &= \frac{1 - 540\zeta(3)^2/\pi^6}{1 - 405\zeta(3)^2/\pi^6} \frac{\delta h(\phi)}{4} \approx 0.1204\delta h(\phi) \end{aligned} \quad (33)$$

因此, 在任意时刻的温度为, 其中 T_0 是今天的温度:

$$\begin{aligned} T &= T_{(0)} + \delta T = T_{(0)} (1 + 0.12\delta h(\phi)) = T_i \frac{1+z}{1+z_i} [1 + 0.12\delta h(\phi(z))] \\ &= T_0(1+z) \left[1 + 0.12[\delta h(\phi(z)) - \delta h(\phi(0))] \right] \\ &= T_0(1+z) \left[1 + 0.12 \left[\frac{\Delta\alpha}{\alpha}(z) - \frac{\Delta\alpha}{\alpha}(z_{\text{CMB}}) - \frac{\Delta\alpha}{\alpha}(z=0) + \frac{\Delta\alpha}{\alpha}(z_{\text{CMB}}) \right] \right] \\ &= T_0(1+z) \left[1 + 0.12 \frac{\Delta\alpha}{\alpha}(z) \right] = T_0(1+z) [0.88 + 0.12\eta^2(z)] \end{aligned} \quad (34)$$

因此可以看出, $\delta h(\phi(z)) = \frac{\Delta\alpha}{\alpha}(z)$ 。

另外对于CMB温度变化, 还有一个形式:

$$T(z) = T_0(1+z)^{1-\beta} \quad (35)$$

那么

$$(1+z)^{-\beta} = 1 + 0.12 \frac{\Delta\alpha}{\alpha}(z) \quad (36)$$

4.2.2 化学势

关注 $z=0$ 处的化学势。由公式28

$$\mu \simeq -0.4669\delta h(\phi(z=0)) = -0.47 \left[\frac{\Delta\alpha}{\alpha}(z=0) - \frac{\Delta\alpha}{\alpha}(z_{\text{CMB}}) \right] = 0.47 \frac{\Delta\alpha}{\alpha}(z_{\text{CMB}}) \quad (37)$$

综上, 用晚期的星系和FRB的信息, 可以对CDDR和CMB温度演化的参数限制, 即 η, β

4.3 限制结果 —— 误差传递

红移为0.15, $\Delta\alpha/\alpha = 0.0008^{+0.0063}_{-0.0073}$ 。已知参数 a , 求参数 $b = f(a)$ 的误差: $\sigma(b) = \left| \frac{\partial f(a)}{\partial a} \right| \sigma(a)$

1. CDDR:

$$\eta = \sqrt{1 + \frac{\Delta\alpha}{\alpha}} \quad \sigma(\eta) = \frac{1}{2(1 + \frac{\Delta\alpha}{\alpha})} \sigma\left(\frac{\Delta\alpha}{\alpha}\right) \quad (38)$$

$$\eta = 1.0004^{+0.0070}_{-0.0072}$$

2. CMB温度演化

$$\beta = -\frac{\log(1 + 0.12 \frac{\Delta\alpha}{\alpha}(z))}{\log(1+z)} \quad (39)$$

$$\beta = 0.017^{+0.029}_{-0.032}$$

5 proton-to-electron mass ratio

参考文章: [arxiv:0610733](#), [Surajit Kalita2023](#)

- $m_e = h_e v$: h 代表(Yukawas)汤川耦合, v : Higgs vacuum expectation value。 $\Delta m_e = \Delta h_e v + h_e \Delta v$
- $\frac{\Delta m_p}{m_p} \simeq 0.76 \frac{\Delta \Lambda}{\Lambda} + 0.24 \left(\frac{\Delta h}{h} + \frac{\Delta v}{v} \right)$: 计算时, $0.76 \rightarrow 0.8$ 。计算用到的公式参考文献的11, 14, 21

•

$$\begin{aligned} \frac{\Delta m_e}{m_e} &= \frac{1}{2}(1+S) \frac{\Delta \alpha}{\alpha} \\ \frac{\Delta m_p}{m_p} &= \left[\frac{4}{5}R + \frac{1}{5}(1+S) \right] \frac{\Delta \alpha}{\alpha} \end{aligned} \quad (40)$$

- $\mu = m_p/m_e$

•

$$\frac{\Delta \mu}{\mu} = \left(\frac{\Delta m_p}{m_e} - \frac{m_p}{m_e^2} \Delta m_e \right) \times \frac{m_e}{m_p} = \frac{\Delta m_p}{m_p} - \frac{\Delta m_e}{m_e} = \left[\frac{4}{5}R - \frac{3}{10}(1+S) \right] \frac{\Delta \alpha}{\alpha} \quad (41)$$

- R和S是模型依赖的, 通过观测数据可以得到, 有误差。 $R = 278 \pm 24$ 和 $S = 742 \pm 65$ ([arxiv:1309.7765](#))